

กระบวนการแปรรูปด้วยเอนไซม์และลักษณะเฉพาะของน้ำพุทรา *Zizyphus mauritiana* Lam.

เข้มข้นที่มีใยอาหารสูง

นายธีระ มีโอกาสมงคล

วิทยานิพนธ์นี้เป็นส่วนหนึ่งของการศึกษาค้นคว้าหลักสูตรปริญญาวิทยาศาสตรมหาบัณฑิต

สาขาวิชาเทคโนโลยีชีวภาพ

คณะวิทยาศาสตร์ จุฬาลงกรณ์มหาวิทยาลัย

ปีการศึกษา 2548

ISBN 974-14-3365-4

ลิขสิทธิ์ของจุฬาลงกรณ์มหาวิทยาลัย



4 5 7 2 3 2 5 4 2 3

ENZYMATIC PROCESSING AND CHARACTERIZATION OF CONCENTRATED
JUJUBE *Zizyphus mauritiana* Lam. JUICE WITH HIGH DIETARY FIBER

Mr Teera Meeopasmongkol

A Thesis Submitted in Partial Fulfillment of the Requirements
for the Degree of Master of Science Program in Biotechnology

Faculty of Science

Chulalongkorn University

Academic Year 2005

ISBN 974-14-3365-4

481556

หัวข้อวิทยานิพนธ์ กระบวนการแปรรูปด้วยเอนไซม์และลักษณะเฉพาะของน้ำพุทรา
Zizyphus mauritiana Lam.เข้มข้นที่มีใยอาหารสูง

โดย นายธีระ มีโอภาสมงคล


สาขาวิชา เทคโนโลยีชีวภาพ


อาจารย์ที่ปรึกษา รองศาสตราจารย์ ดร.ปราณี อ่านเปรื่อง


คณะวิทยาศาสตร์ จุฬาลงกรณ์มหาวิทยาลัย อนุมัติให้วิทยานิพนธ์ฉบับนี้ เป็น
ส่วนหนึ่งของการศึกษาตามหลักสูตรปริญญาโทฉบับนี้

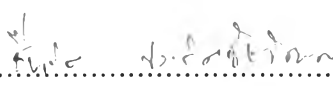
.....คณบดีคณะวิทยาศาสตร์
(ศาสตราจารย์ ดร. เปี่ยมศักดิ์ เมนะเสวด)


คณะกรรมการสอบวิทยานิพนธ์

.....ประธานกรรมการ
(ผู้ช่วยศาสตราจารย์ ดร.รมณี สงวนดีกุล)

.....อาจารย์ที่ปรึกษา
(รองศาสตราจารย์ ดร. ปราณี อ่านเปรื่อง)

.....กรรมการ
(รองศาสตราจารย์ ดร. ชัยยุทธ รัญพิทยากุล)

.....กรรมการ
(อาจารย์ ดร. ชันจิต ประกิตชัยวัฒนา)

.....กรรมการ
(อาจารย์ ชนะ ผิวล่อง)

ธีระ มีโอกาสมงคล : กระบวนการแปรรูปด้วยเอนไซม์ และลักษณะเฉพาะของน้ำพุทรา
Zizyphus mauritiana Lam. เข้มข้นที่มีใยอาหารสูง (ENZYMATIC PROCESSING
 AND CHARACTERIZATION OF CONCENTRATED JUJUBE *Zizyphus*
mauritiana Lam. JUICE WITH HIGH DIETARY FIBER) อาจารย์ที่ปรึกษา:
 รศ.ดร. ปราณี อ่านเปรื่อง, 134 หน้า. ISBN 974-14-3365-4

สภาวะที่เหมาะสมของเอนไซม์ Pectinex Ultra SP-L[®] (1360 หน่วยต่อมิลลิลิตร) ที่ทำให้
 ได้ผลการสกัดน้ำพุทราเข้มข้นสูงสุดคือ ที่ ค่าความเป็นกรด – ด่าง เท่ากับ 4 และ ที่อุณหภูมิ ช่วง
 40 – 50 องศาเซลเซียส สำหรับผลการหาสัดส่วนของปริมาณเอนไซม์ Pectinex Ultra SP-L[®] ที่ใช้
 ต่อปริมาณพุทรา 3 กลุ่ม กลุ่มละ 10 กรัม พบว่า 1. เนื้อพุทราบดที่มีขนาดอนุภาคเล็กกว่า 1.5
 มิลลิเมตร ใช้เอนไซม์ที่ความเข้มข้น 30 หน่วยต่อมิลลิลิตร จำนวน 1 มิลลิลิตร และ เวลาในการทำ
 ปฏิกริยานาน 8 ชั่วโมง 2. เนื้อพุทราบดที่มีขนาดอนุภาคใหญ่กว่า 1.5 มิลลิเมตร ใช้เอนไซม์ที่
 ความเข้มข้น 30 หน่วยต่อมิลลิลิตร จำนวน 1 มิลลิลิตร และ เวลาในการทำปฏิกริยานาน 7 ชั่วโมง
 และ 3. พุทราบดทั้งผล ใช้เอนไซม์ที่ความเข้มข้น 30 หน่วยต่อมิลลิลิตร จำนวน 1 มิลลิลิตรและ
 เวลาในการทำปฏิกริยานาน 8 ชั่วโมง ซึ่งในส่วนของเนื้อพุทราบดขนาดอนุภาคใหญ่กว่า 1.5
 มิลลิเมตร ควรใช้การนึ่งความดันร่วมกับการบดจะช่วยให้เพิ่มปริมาณผลผลิตได้มากขึ้น และการนึ่ง
 ความดันที่ 121 องศาเซลเซียส นาน 15 นาที จะช่วยในการพัฒนากลิ่น-รสของน้ำพุทราเข้มข้น ส่วน
 กระบวนการผลิตน้ำพุทราเข้มข้นแบบต่อเนื่อง พบว่า จะต้องมีการเติมพุทราลงไปใหม่ในรอบการ
 ทดลองที่ 1 – 3 ส่วนรอบการทดลองที่ 4 นั้นเติมเอนไซม์ลงไปแทน

ในส่วนของคุณลักษณะเฉพาะของน้ำพุทราเข้มข้นที่ผลิตได้ แบ่งออกเป็น 1. ใยอาหาร พบว่า
 ต้องมีการเสริมใยอาหารที่สกัดจากพุทรา จำนวน 4.06 กรัมในผลิตภัณฑ์ 100 มิลลิลิตร 2. กลิ่น
 พบว่า น้ำพุทราเข้มข้นที่ผลิตได้ มีกลิ่นที่เข้มข้นกว่าน้ำพุทราสดมากจนสังเกตได้ชัด 3. ฤทธิ์ในการ
 ดันอนุโมลลิอิสระ พบว่า ความเข้มข้นที่สามารถยับยั้งอนุโมลลิอิสระได้ 50% (EC₅₀) ของน้ำพุทรา
 เข้มข้น คือ 165.806 มิลลิลิตร 4. อายุการเก็บรักษาน้ำพุทราเข้มข้นในขวดแก้วใส พบว่า การเก็บที่
 อุณหภูมิ 4 องศาเซลเซียส นาน 6 สัปดาห์ และ การเก็บที่อุณหภูมิห้อง นาน 4 สัปดาห์นั้นตรวจไม่
 พบเชื้อยีสต์และรา ส่วนการทดลองผลิตน้ำพุทราพร้อมดื่มนั้น พบว่าควรใช้ ปริมาณน้ำพุทราเข้มข้น
 ร้อยละ 30 แล้วปรับค่ารสหวานต่อรสเปรี้ยว ให้ได้ 24 BAR เป็นสูตรที่ได้รับการยอมรับมากที่สุด

สาขาวิชา.....เทคโนโลยีชีวภาพ.....

ลายมือชื่อนิสิต.....ธีระ มีโอกาสมงคล.....

ปีการศึกษา.....2548.....

ลายมือชื่ออาจารย์ที่ปรึกษา.....ป.ร.....

4572325423: MAJOR BIOTECHNOLOGY

KEYWORD: *Zizyphus mauritiana* Lam./ น้ำพุทรา/ ใยอาหาร/ กระบวนการแปรรูป

TEERA MEEOPASMONGKOL: ENZYMATIC PROCESSING AND
CHARACTERIZATION OF CONCENTRATED JUJUBE *Zizyphus mauritiana*
Lam. JUICE WITH HIGH DIETARY FIBER. THESIS ADVISOR:
ASSOC. PROF. PRANEE ANPRUNG, Ph.D., 136 pp. ISBN 974-14-3365-4

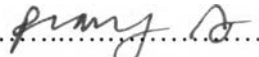
The optimum condition of Pectinex Ultra SP-L[®] were pH 4 and 40 °C – 50 °C. For Pectinex Ultra SP-L[®] (1360 Unit/ml.) that used in 3 jujube groups @ 10g. found that 1. Minced jujube pulp that had particle size less than 1.5 mm. that used pectinase (30 Unit/ml.) 1 ml. and reaction time was 8 hrs. 2. Minced jujube pulp that had particle size more than 1.5 mm. that used pectinase (30 Unit/ml.) 1 ml. and reaction time was 7 hrs. 3. Minced whole jujube that used pectinase (30 Unit/ml.) 1 ml. and reaction time was 8 hrs. For minced jujube pulp that had particle size more than 1.5 mm. should to clave and mince that increased the output and claved at 121 °C 15 min. could to develop the odor of concentrated jujube syrup. For the continuous process found that should to add new jujube in the process for round 1 – round 3. In the part of round 4 should to add Pectinase.

The characterization of concentrated jujube syrup could divide into 4 groups were 1. Dietary Fiber found that should to add Dietary Fiber from jujube 4.06 g. in product (for 100 ml.) 2. Odor found that concentrated jujube syrup had strong odor than fresh jujube juice 3. Antioxidant found that the concentration of concentrated jujube syrup that could to inhibit free radicals 50% (EC₅₀) was 165.806 ml. 4. Shelf life of concentrated jujube syrup that stored in the bottle found that storage at 4 °C for 6 weeks or storage at room temperature for 4 weeks couldn't detect yeast and mould. In the part of pilot scale for jujube juice should to add concentrated jujube syrup was 30 % and then adjusted to 24 BAR was the formula that consumers accepted.

Field of study.....biotechnology.....

Student's signature..........

Academic year.....2005.....

Advisor's signature..........

กิตติกรรมประกาศ

ผู้เขียนขอกราบขอบพระคุณ รองศาสตราจารย์ ดร.ปราณี ถ่านเปรี๊ยะ ที่ได้ให้ความกรุณา เป็นอาจารย์ที่ปรึกษา ที่ได้เสียสละเวลาเพื่อให้คำแนะนำ และถ่ายทอดความเป็นนักวิจัยในการคิด การทำงานวิจัย และการเขียนรายงานวิทยานิพนธ์ ตลอดจนให้ความช่วยเหลือตลอดระยะเวลาที่ ผู้เขียนได้ศึกษาอยู่

ขอกราบขอบพระคุณผู้ช่วยศาสตราจารย์ ดร.รมณีย์ สงวนดีกุล ประธานกรรมการสอน วิทยานิพนธ์ รองศาสตราจารย์ ดร.ชัยยุทธ วัฒนพรกุล อาจารย์ ดร. ชื่นจิต ประภัสชัยวัฒน์ และ อาจารย์ ชนะ นีวงศ์ถอง กรรมการสอนวิทยานิพนธ์ ที่กรุณาให้คำแนะนำ คำถาม ชี้แนะ แก่ ผู้เขียนจนไปสู่ความสำเร็จตามขั้นตอน ตั้งแต่การพิจารณาหัวข้อวิทยานิพนธ์ การสอบวิทยานิพนธ์ ตลอดจนการตรวจแก้ไขวิทยานิพนธ์จนได้เป็นฉบับสมบูรณ์ ข้าพเจ้ารู้สึกซาบซึ้งต่อภารกิจของท่าน อาจารย์ทุกท่านที่ช่วยปรึกษาให้ข้าพเจ้ามีความพร้อมและมั่นใจมากขึ้น

ขอขอบคุณ อาจารย์เทวโณ โสโยธินทางอาหาร นักโภชนาการ โสโยธินภาพ และนักจิตวิทยา วิทยาลัยเกษตรกรรมมหาวิทยาลัย ที่ได้กรุณาอนุเคราะห์การวิจัยครั้งนี้

ขอขอบคุณ พี่ตูนๆ พี่ๆ น้องๆ ในหลักสูตรเทวโณ โสโยธินภาพและเทวโณ โสโยธินทางอาหาร ที่ให้คำแนะนำ ช่วยเหลือในเรื่องต่างๆ เป็นอย่างดีตลอดเวลาที่ทำงานวิจัย

สุดท้ายนี้ ขอกราบขอบพระคุณ บิดา มารดา ที่ได้ความรัก ให้กำลังใจ ให้ความช่วยเหลือใน ทุกๆ เรื่องที่ดีเสมอมา แก่ผู้เขียนจนสำเร็จการศึกษา

สารบัญ

	หน้า
บทคัดย่อภาษาไทย.....	ง
บทคัดย่อภาษาอังกฤษ.....	จ
ถึงเลขาธิการสภา.....	ฉ
สารบัญตาราง.....	ช
สารบัญรูป.....	ค
บทที่ 1 บทนำ.....	1
บทที่ 2 แหล่งสารและงานวิจัยที่เกี่ยวข้อง.....	3
บทที่ 3 วิธีการทดลอง.....	34
บทที่ 4 ผลการทดลองและวิจารณ์ผลการทดลอง.....	41
บทที่ 5 สรุปผลการทดลอง.....	139
รายการอ้างอิง.....	140
ภาคผนวก.....	
ภาคผนวก ก.....	142
ภาคผนวก ข.....	144
ภาคผนวก ค.....	157
ภาคผนวก ง.....	158
ประวัติผู้เขียนวิทยานิพนธ์.....	164

สารบัญตาราง

ตารางที่		หน้า
ตารางที่ 1	แสดงสถิติการปลูกทุเรียน ขยายรายกาล ปี พ.ศ. 2537	6
ตารางที่ 2	แสดงสถิติการปลูกทุเรียน ขยายรายจังหวัด เรียงตามพื้นที่เพาะปลูก ที่ให้ผลแล้ว 15 จังหวัดแรก ตามลำดับ ปี พ.ศ. 2537.....	7
ตารางที่ 3	แสดงองค์ประกอบที่สำคัญของทุเรียน.....	7
ตารางที่ 4	แสดงใยอาหารและชนิดของน้ำตาลในโมเดกุล.....	11
ตารางที่ 5	คุณสมบัติของใยอาหารชนิดต่าง ๆ.....	11
ตารางที่ 6	ความแข็งแรงของขนาดแก้วที่มีกาลัดขวางแตกต่างกัน.....	30
ตารางที่ 7	เปรียบเทียบน้ำหนักโดยประมาณของขนาดทรงกระบอกและขวดอื่น.....	30
ตารางที่ 8	องค์ประกอบของทุเรียน.....	41
ตารางที่ 9	ผลการศึกษการหาค่ากรด - ค่างที่เหมาะสมสำหรับการทำปฏิริยาโดยเพลตินีส โดยอาศัยค่าความหนืด.....	41
ตารางที่ 10	ผลการศึกษการหาค่ากรด - ค่างที่เหมาะสมสำหรับการทำปฏิริยาโดยเพลตินีส โดยการอาศัยค่าความใส (% Transmittance : %T).....	42
ตารางที่ 11	ผลการศึกษการหาค่ากรด - ค่างที่เหมาะสมสำหรับการทำปฏิริยาโดยเพลตินีส โดยการอาศัยค่าความใส (OD).....	42
ตารางที่ 12	ผลการศึกษการหาค่ากรด - ค่างที่เหมาะสมสำหรับการทำปฏิริยาโดยเพลตินีส โดยการอาศัยค่าปริมาณของแข็งที่ละลายได้ทั้งหมด ("Brix").....	43
ตารางที่ 13	ผลการศึกษการหาค่ากรด - ค่างที่เหมาะสมสำหรับการทำปฏิริยาโดยเพลตินีส โดยการอาศัยค่าปริมาณน้ำกลับ.....	43
ตารางที่ 14	ผลการศึกษการหาค่ากรด - ค่างที่เหมาะสมสำหรับการทำปฏิริยาโดยเพลตินีส โดยการอาศัยค่าน้ำตาลรีดิวซ์(Reducing Sugar).....	44
ตารางที่ 15	ผลการศึกษการหาค่าอุณหภูมิที่เหมาะสมสำหรับการทำปฏิริยา โดยเพลตินีส โดยอาศัยค่าความหนืด.....	45
ตารางที่ 16	ผลการศึกษการหาค่าอุณหภูมิที่เหมาะสมสำหรับการทำปฏิริยา โดยเพลตินีส โดยอาศัยค่าปริมาณของแข็งที่ละลายได้ทั้งหมด.....	46

ตารางที่ 17	ผลการศึกษาค่าลดทอนของค่าดัชนีหักเหที่เหมาะสมสำหรับการทำปฏิกิริยาโดยเพคตินเอส โดยอาศัยค่าปริมาณน้ำคั้น (บิลลิลิตร)	46
ตารางที่ 18	ผลการศึกษาค่าลดทอนของค่าดัชนีหักเหที่เหมาะสมสำหรับการทำปฏิกิริยาโดยเพคตินเอส โดยการอาศัยค่าความใส (% Transmittance : %T).....	47
ตารางที่ 19	ผลการศึกษาค่าลดทอนของค่าดัชนีหักเหที่เหมาะสมสำหรับการทำปฏิกิริยาโดยเพคตินเอส โดยการอาศัยค่าความใส (OD).....	47
ตารางที่ 20	ผลการศึกษาค่าลดทอนของค่าดัชนีหักเหที่เหมาะสมสำหรับการทำปฏิกิริยาโดยเพคตินเอส โดยการอาศัยค่าน้ำตาลรีดิวซ์(Reducing Sugar).....	47
ตารางที่ 21	ผลของระดับความเข้มข้น เพคตินเอส และเวลาในการทำปฏิกิริยา ต่อค่าเฉลี่ยของ ปริมาณของแข็งที่ละลายได้ทั้งหมด (Brix) ที่สกัดได้ที่เวลาระหว่าง 1-9 ชั่วโมง ดุลหนุมิ 45 องศาเซลเซียส	48
ตารางที่ 22	การวิเคราะห์ความแปรปรวนของปริมาณของแข็งที่ละลายได้ทั้งหมด ต่อระยะเวลา ในการย่อยสลายด้วยเพคตินเอสเข้มข้น10.20 และ30 ที่ช่วงเวลาระหว่าง 0-9 ชั่วโมง ดุลหนุมิ 45 องศาเซลเซียส.....	50
ตารางที่ 23	ข้อมูลทางสถิติของอิทธิพลของระดับความเข้มข้นของเพคตินเอส ต่อปริมาณ ของแข็งที่ละลายได้ในน้ำเชื่อมพุทรา.....	50
ตารางที่ 24	ข้อมูลทางสถิติของอิทธิพลของเวลาในการสกัดน้ำเชื่อมพุทราต่อปริมาณ ของแข็งที่ละลายได้ในน้ำเชื่อมพุทรา.....	50
ตารางที่ 25	ผลของระดับความเข้มข้น เพคตินเอส และเวลาในการทำปฏิกิริยา ต่อค่าเฉลี่ยของ ความหนืด (cps) ที่สกัดได้ที่เวลาระหว่าง 1-9 ชั่วโมง ดุลหนุมิ 45 °C.....	51
ตารางที่ 26	การวิเคราะห์ความแปรปรวนของความหนืด (cps) ต่อระยะเวลาในการย่อย สลายด้วยเพคตินเอสเข้มข้น10.20 และ30 ที่ช่วงเวลาระหว่าง 0-9 ชั่วโมง ดุลหนุมิ 45 องศาเซลเซียส.....	52
ตารางที่ 27	ข้อมูลทางสถิติของอิทธิพลของระดับความเข้มข้นของเพคตินเอส ต่อ ความหนืด (cps)	53
ตารางที่ 28	ข้อมูลทางสถิติของอิทธิพลของเวลาในการสกัดน้ำเชื่อมพุทราต่อ ความหนืด (cps)	53
ตารางที่ 29	ผลของระดับความเข้มข้น เพคตินเอส และเวลาในการทำปฏิกิริยา ต่อค่าเฉลี่ยของ ความใสของน้ำเชื่อมพุทรา (% Transmittance) ที่สกัดได้ที่เวลาระหว่าง 1-9 ชั่วโมง ดุลหนุมิ 45 °C.....	54

ตารางที่ 30	การวิเคราะห์ความแปรปรวนของความใส (% T) ต่อระยะเวลาในการย่อย สลายด้วยเพคตินสเต็มชั้น 10.20 และ 30 ที่ช่วงเวลาระหว่าง 0-9 ชั่วโมง อุณหภูมิ 45 องศาเซลเซียส.....	55
ตารางที่ 31	ข้อมูลทางสถิติของอิทธิพลของระดับความเข้มข้นของเพคตินส ต่อ ความใส (% T)	56
ตารางที่ 32	ข้อมูลทางสถิติของอิทธิพลของเวลาในการสกัดน้ำเชื่อมพุทราต่อ ความใส (% T)	56
ตารางที่ 33	ผลของระดับความเข้มข้น เพคตินส และเวลาในการทำปฏิกิริยา ต่อค่าเฉลี่ยของ ปริมาณน้ำคั้นจากพุทรา ที่สกัดได้ที่เวลาระหว่าง 1- 9 ชั่วโมงอุณหภูมิ 45 °C.....	57
ตารางที่ 34	การวิเคราะห์ความแปรปรวนของปริมาณน้ำคั้นจากพุทรา ต่อระยะเวลาในการย่อย สลายด้วยเพคตินสเต็มชั้น 10.20 และ 30 ที่ช่วงเวลาระหว่าง 0-9 ชั่วโมง อุณหภูมิ 45 องศาเซลเซียส.....	58
ตารางที่ 35	ข้อมูลทางสถิติของอิทธิพลของระดับความเข้มข้นของเพคตินส ต่อ ปริมาณน้ำคั้นจากพุทรา	59
ตารางที่ 36	ข้อมูลทางสถิติของอิทธิพลของเวลาในการสกัดน้ำเชื่อมพุทราต่อ ปริมาณน้ำคั้นจากพุทรา	59
ตารางที่ 37	ผลของระดับความเข้มข้น เพคตินส และเวลาในการทำปฏิกิริยา ต่อค่าเฉลี่ยของ ปริมาณน้ำกลับริดิวซ์ของน้ำเชื่อมพุทราที่เวลาระหว่าง 1- 9 ชั่วโมงอุณหภูมิ 45 °C..60	
ตารางที่ 38	การวิเคราะห์ความแปรปรวนของปริมาณน้ำกลับริดิวซ์ของน้ำเชื่อมพุทราต่อ ระยะเวลาในการย่อยสลายด้วยเพคตินสเต็มชั้น 10.20 และ 30 ที่ช่วงเวลาระหว่าง 0-9 ชั่วโมง อุณหภูมิ 45 องศาเซลเซียส.....	61
ตารางที่ 39	ข้อมูลทางสถิติของอิทธิพลของระดับความเข้มข้นของเพคตินส ต่อ ปริมาณน้ำกลับริดิวซ์ของน้ำเชื่อมพุทรา.....	62
ตารางที่ 40	ข้อมูลทางสถิติของอิทธิพลของเวลาในการสกัดน้ำเชื่อมพุทราต่อ ปริมาณน้ำกลับริดิวซ์ของน้ำเชื่อมพุทรา.....	62
ตารางที่ 41	ผลของระดับความเข้มข้น เพคตินส และเวลาในการทำปฏิกิริยา ต่อค่าเฉลี่ยของ ปริมาณของแข็งที่ละลายได้ทั้งหมด ("Brix") ที่สกัดได้ที่เวลาระหว่าง 1- 9 ชั่วโมง อุณหภูมิ 45 องศาเซลเซียส	63

ตารางที่ 42	การวิเคราะห์ความแปรปรวนของปริมาณของแข็งที่ละลายได้ทั้งหมด ต่อระยะเวลาในการย่อยสลายด้วยเพลลินีสเข้มข้น 10.20 และ 30 ที่ช่วงเวลาระหว่าง 0-9 ชั่วโมง อุณหภูมิ 45 องศาเซลเซียส.....	64
ตารางที่ 43	ข้อมูลทางสถิติของอิทธิพลของระดับความเข้มข้นของเพลลินีส ต่อปริมาณของแข็งที่ละลายได้ในน้ำเชื่อมพุทรา.....	65
ตารางที่ 44	ข้อมูลทางสถิติของอิทธิพลของเวลาในการสกัดน้ำเชื่อมพุทราต่อปริมาณของแข็งที่ละลายได้ในน้ำเชื่อมพุทรา.....	65
ตารางที่ 45	ผลของระดับความเข้มข้น เพลลินีส และเวลาในการทำปฏิกิริยา ต่อค่าเฉลี่ยของความหนืด (cps) ที่สกัดได้ทีเวลาระหว่าง 1-9 ชั่วโมงอุณหภูมิ 45 °C.....	66
ตารางที่ 46	การวิเคราะห์ความแปรปรวนของความหนืด (cps) ต่อระยะเวลาในการย่อยสลายด้วยเพลลินีสเข้มข้น 10.20 และ 30 ที่ช่วงเวลาระหว่าง 0-9 ชั่วโมง อุณหภูมิ 45 องศาเซลเซียส.....	67
ตารางที่ 47	ข้อมูลทางสถิติของอิทธิพลของระดับความเข้มข้นของเพลลินีส ต่อความหนืด (cps)	68
ตารางที่ 48	ข้อมูลทางสถิติของอิทธิพลของเวลาในการสกัดน้ำเชื่อมพุทราต่อความหนืด (cps)	68
ตารางที่ 49	ผลของระดับความเข้มข้น เพลลินีส และเวลาในการทำปฏิกิริยา ต่อค่าเฉลี่ยของความใสของน้ำเชื่อมพุทรา (% Transmittance) ที่สกัดได้ทีเวลาระหว่าง 1-9 ชั่วโมงอุณหภูมิ 45 °C.....	69
ตารางที่ 50	การวิเคราะห์ความแปรปรวนของความใส (% T) ต่อระยะเวลาในการย่อยสลายด้วยเพลลินีสเข้มข้น 10.20 และ 30 ที่ช่วงเวลาระหว่าง 0-9 ชั่วโมง อุณหภูมิ 45 องศาเซลเซียส.....	70
ตารางที่ 51	ข้อมูลทางสถิติของอิทธิพลของระดับความเข้มข้นของเพลลินีส ต่อความใส (% T)	71
ตารางที่ 52	ข้อมูลทางสถิติของอิทธิพลของเวลาในการสกัดน้ำเชื่อมพุทราต่อความใส (% T)	71
ตารางที่ 53	ผลของระดับความเข้มข้น เพลลินีส และเวลาในการทำปฏิกิริยา ต่อค่าเฉลี่ยของปริมาณน้ำคั้นจากพุทรา ที่สกัดได้ทีเวลาระหว่าง 1- 9 ชั่วโมงอุณหภูมิ 45 °C.....	72

ตารางที่ 54	การวิเคราะห์ความแปรปรวนของปริมาณน้ำคั้นจากพุทรา ต่อระยะเวลาในการย่อยสลายด้วยเพคตินเนสเข้มข้น 10.20 และ 30 ที่ช่วงเวลาระหว่าง 0-9 ชั่วโมง อุณหภูมิ 45 องศาเซลเซียส.....	73
ตารางที่ 55	ข้อมูลทางสถิติของอิทธิพลของระดับความเข้มข้นของเพคตินเอส ต่อปริมาณน้ำคั้นจากพุทรา	74
ตารางที่ 56	ข้อมูลทางสถิติของอิทธิพลของเวลาในการสกัดน้ำเชื่อมพุทราต่อปริมาณน้ำคั้นจากพุทรา	74
ตารางที่ 57	ผลของระดับความเข้มข้น เพคตินเอส และเวลาในการทำปฏิกิริยา ต่อค่าเฉลี่ยของปริมาณน้ำตาลรีดิวซ์ของน้ำเชื่อมพุทราที่เวลาระหว่าง 1-9 ชั่วโมงอุณหภูมิ 45 °C..	75
ตารางที่ 58	การวิเคราะห์ความแปรปรวนของปริมาณน้ำตาลรีดิวซ์ของน้ำเชื่อมพุทราต่อระยะเวลาในการย่อยสลายด้วยเพคตินเนสเข้มข้น 10.20 และ 30 ที่ช่วงเวลาระหว่าง 0-9 ชั่วโมง อุณหภูมิ 45 องศาเซลเซียส.....	76
ตารางที่ 59	ข้อมูลทางสถิติของอิทธิพลของระดับความเข้มข้นของเพคตินเอส ต่อปริมาณน้ำตาลรีดิวซ์ของน้ำเชื่อมพุทรา.....	77
ตารางที่ 60	ข้อมูลทางสถิติของอิทธิพลของเวลาในการสกัดน้ำเชื่อมพุทราต่อปริมาณน้ำตาลรีดิวซ์ของน้ำเชื่อมพุทรา.....	77
ตารางที่ 61	ผลของระดับความเข้มข้น เพคตินเอส และเวลาในการทำปฏิกิริยา ต่อค่าเฉลี่ยของปริมาณของแข็งที่ละลายได้ทั้งหมด (Brix) ที่สกัดได้ ที่เวลาระหว่าง 1-9 ชั่วโมง อุณหภูมิ 45 องศาเซลเซียส	78
ตารางที่ 62	การวิเคราะห์ความแปรปรวนของปริมาณของแข็งที่ละลายได้ทั้งหมด ต่อระยะเวลาในการย่อยสลายด้วยเพคตินเนสเข้มข้น 10.20 และ 30 ที่ช่วงเวลาระหว่าง 0-9 ชั่วโมง อุณหภูมิ 45 องศาเซลเซียส.....	79
ตารางที่ 63	ข้อมูลทางสถิติของอิทธิพลของระดับความเข้มข้นของเพคตินเอส ต่อปริมาณของแข็งที่ละลายได้ในน้ำเชื่อมพุทรา.....	80
ตารางที่ 64	ข้อมูลทางสถิติของอิทธิพลของเวลาในการสกัดน้ำเชื่อมพุทราต่อปริมาณของแข็งที่ละลายได้ในน้ำเชื่อมพุทรา.....	80
ตารางที่ 65	ผลของระดับความเข้มข้น เพคตินเอส และเวลาในการทำปฏิกิริยา ต่อค่าเฉลี่ยของความหนืด (cps) ที่สกัดได้ ที่เวลาระหว่าง 1-9 ชั่วโมงอุณหภูมิ 45 °C.....	81

ตารางที่ 66 การวิเคราะห์ความแปรปรวนของความหนืด (cps) ต่อระยะเวลาในการย่อย
สลายด้วยเผลติเบนสเข้มข้น 10.20 และ 30 ที่ช่วงเวลาระหว่าง 0-9 ชั่วโมง
อุณหภูมิ 45 องศาเซลเซียส..... 82

ตารางที่ 67 ข้อมูลทางสถิติของอิทธิพลของระดับความเข้มข้นของเผลติเบนส ต่อ
ความหนืด (cps) 83

ตารางที่ 68 ข้อมูลทางสถิติของอิทธิพลของเวลาในการสกัดน้ำเชื่อมพุทราต่อ
ความหนืด (cps) 83

ตารางที่ 69 ผลของระดับความเข้มข้น เผลติเบนส และเวลาในการทำปฏิกิริยา ต่อค่าเฉลี่ยของ
ความใสของน้ำเชื่อมพุทรา (% Transmittance) ที่สกัดได้ที่เวลาระหว่าง
1-9 ชั่วโมงอุณหภูมิ 45 °C..... 84

ตารางที่ 70 การวิเคราะห์ความแปรปรวนของความใส (% T) ต่อระยะเวลาในการย่อย
สลายด้วยเผลติเบนสเข้มข้น 10.20 และ 30 ที่ช่วงเวลาระหว่าง 0-9 ชั่วโมง
อุณหภูมิ 45 องศาเซลเซียส..... 85

ตารางที่ 71 ข้อมูลทางสถิติของอิทธิพลของระดับความเข้มข้นของเผลติเบนส ต่อ
ความใส (% T) 86

ตารางที่ 72 ข้อมูลทางสถิติของอิทธิพลของเวลาในการสกัดน้ำเชื่อมพุทราต่อ
ความใส (% T) 86

ตารางที่ 73 ผลของระดับความเข้มข้น เผลติเบนส และเวลาในการทำปฏิกิริยา ต่อค่าเฉลี่ยของ
ปริมาณน้ำคั้นจากพุทรา ที่สกัดได้ที่เวลาระหว่าง 1- 9 ชั่วโมงอุณหภูมิ 45 °C..... 87

ตารางที่ 74 การวิเคราะห์ความแปรปรวนของปริมาณน้ำคั้นจากพุทรา ต่อระยะเวลาในการย่อย
สลายด้วยเผลติเบนสเข้มข้น 10.20 และ 30 ที่ช่วงเวลาระหว่าง 0-9 ชั่วโมง
อุณหภูมิ 45 องศาเซลเซียส..... 88

ตารางที่ 75 ข้อมูลทางสถิติของอิทธิพลของระดับความเข้มข้นของเผลติเบนส ต่อ
ปริมาณน้ำคั้นจากพุทรา 89

ตารางที่ 76 ข้อมูลทางสถิติของอิทธิพลของเวลาในการสกัดน้ำเชื่อมพุทราต่อ
ปริมาณน้ำคั้นจากพุทรา 89

ตารางที่ 77 ผลของระดับความเข้มข้น เผลติเบนส และเวลาในการทำปฏิกิริยา ต่อค่าเฉลี่ยของ
ปริมาณน้ำตาลรีดิวซ์ของน้ำเชื่อมพุทราที่เวลาระหว่าง 1- 9 ชั่วโมงอุณหภูมิ 45 °C..90

ตารางที่ 78	การวิเคราะห์ความแปรปรวนของปริมาณน้ำคลอรีนของน้ำเชื่อมพุทราต่อ ระยะเวลาในการย่อยสลายด้วยเพคตินสที่เข้มข้น 10, 20 และ 30 ที่ช่วงเวลาระหว่าง 0-9 ชั่วโมง อุณหภูมิ 45 องศาเซลเซียส.....	91
ตารางที่ 79	ข้อมูลทางสถิติของอิทธิพลของระดับความเข้มข้นของเพคตินส ต่อ ปริมาณน้ำคลอรีนของน้ำเชื่อมพุทรา.....	92
ตารางที่ 80	ข้อมูลทางสถิติของอิทธิพลของเวลาในการสกัดน้ำเชื่อมพุทราต่อ ปริมาณน้ำคลอรีนของน้ำเชื่อมพุทรา.....	92
ตารางที่ 81	ผลของกระบวนการแปรรูปแบบต่าง ๆ ร่วมกับเพคตินส 10 หน่วย ที่เวลาในการทำ ปฏิกิริยาต่อค่าเฉลี่ยของปริมาณของแข็งที่ละลายได้ในน้ำเชื่อมพุทรา ที่ระยะเวลา ระหว่าง 1 - 6 ชั่วโมง อุณหภูมิ 45 องศาเซลเซียส.....	93
ตารางที่ 82	การวิเคราะห์ความแปรปรวนของกระบวนการแปรรูปต่อระยะเวลาในการย่อยสลาย ด้วยเพคตินสที่ช่วงเวลาระหว่าง 0 - 6 ชั่วโมง อุณหภูมิ 45 องศาเซลเซียส.....	94
ตารางที่ 83	ข้อมูลทางสถิติของกระบวนการแปรรูปต่อปริมาณของแข็งที่ละลายได้ใน น้ำเชื่อมพุทรา.....	95
ตารางที่ 84	ข้อมูลทางสถิติของอิทธิพลของเวลาในการแปรรูปต่อปริมาณของแข็งที่ละลายได้ใน น้ำเชื่อมพุทรา.....	95
ตารางที่ 85	แสดงรอบการสกัดน้ำพุทราโดยใช้เอนไซม์ รอบที่ 1.....	96
ตารางที่ 86	แสดงรอบการสกัดน้ำพุทราโดยเติมเอนไซม์เพิ่มเข้าไป รอบที่ 2.....	97
ตารางที่ 87	แสดงรอบการสกัดน้ำพุทราโดยเติมเนื้อพุทราใหม่ลงไป รอบที่ 2.....	97
ตารางที่ 88	แสดงรอบการสกัดน้ำพุทราโดยเติมเอนไซม์เพิ่มเข้าไป รอบที่ 3.....	98
ตารางที่ 89	แสดงรอบการสกัดน้ำพุทราโดยเติมเนื้อพุทราใหม่ลงไป รอบที่ 3.....	98
ตารางที่ 90	แสดงรอบการสกัดน้ำพุทราโดยเติมเอนไซม์เพิ่มเข้าไป รอบที่ 4.....	99
ตารางที่ 91	แสดงรอบการสกัดน้ำพุทราโดยเติมเนื้อพุทราใหม่ลงไป รอบที่ 4.....	99
ตารางที่ 92	แสดงรอบการสกัดน้ำพุทราโดยเติมเอนไซม์เพิ่มเข้าไป รอบที่ 5.....	100
ตารางที่ 93	แสดงรอบการสกัดน้ำพุทราโดยเติมเนื้อพุทราใหม่ลงไป รอบที่ 5.....	100
ตารางที่ 94	แสดงอิทธิพลของปริมาณของแข็งที่ละลายได้ในน้ำทั้งหมดต่อค่าความใส.....	101
ตารางที่ 95	แสดงอิทธิพลของปริมาณแป้งัดแปรต่อค่าความใส.....	102
ตารางที่ 96	แสดงอิทธิพลของผลิตภัณฑ์พร้อมดื่มต่อค่าความใส.....	102

ตารางที่ 97 แสดงอิทธิพลของปริมาณของแข็งที่ละลายได้ในน้ำทั้งหมดต่อ
 ค่าความถ่วงจำเพาะ..... 103

ตารางที่ 98 แสดงอิทธิพลของปริมาณแข็งคัลแปรต่อค่าความถ่วงจำเพาะ..... 103

ตารางที่ 99 แสดงอิทธิพลของผลิตภัณฑ์หรือมด้มต่อค่าความถ่วงจำเพาะ..... 104

ตารางที่ 100 แสดงอิทธิพลของปริมาณของแข็งที่ละลายได้ในน้ำทั้งหมดต่อ
 ค่าWater Activity.....104

ตารางที่ 101 แสดงอิทธิพลของปริมาณแข็งคัลแปรต่อค่า Water Activity.....105

ตารางที่ 102 แสดงอิทธิพลของผลิตภัณฑ์หรือมด้มต่อค่า Water Activity..... 105

ตารางที่ 103 แสดงอิทธิพลของปริมาณของแข็งที่ละลายได้ในน้ำทั้งหมดต่อค่าความหนืด.....105

ตารางที่ 104 แสดงอิทธิพลของปริมาณแข็งคัลแปรต่อค่าความหนืด..... 106

ตารางที่ 105 แสดงอิทธิพลของผลิตภัณฑ์หรือมด้มต่อค่าความหนืด..... 106

ตารางที่ 106 แสดงปัจจัยเนื่องจากปริมาณของแข็งที่ละลายได้ในน้ำ ต่อปริมาณวิตามินซี..... 107

ตารางที่ 107 แสดงปัจจัยเนื่องจากปริมาณของแข็งคัลแปร ต่อปริมาณวิตามินซี..... 109

ตารางที่ 107 แสดงปัจจัยเนื่องจากผลิตภัณฑ์หรือมด้ม ต่อปริมาณวิตามินซี..... 110

ตารางที่ 108 แสดงผลของความเข้มข้นของวิตามินซี ต่อการสลายตัวของวิตามินซี
 โดยการฆ่าเชื้อแบบ Sterilization 111

ตารางที่ 109 แสดงปัจจัยเนื่องจากปริมาณของแข็งที่ละลายได้ในน้ำ ต่อปริมาณวิตามินเอ..... 113

ตารางที่ 110 แสดงปัจจัยเนื่องจากปริมาณของแข็งคัลแปร ต่อปริมาณวิตามินเอ..... 114

ตารางที่ 111 แสดงปัจจัยเนื่องจากผลิตภัณฑ์หรือมด้มต่อปริมาณวิตามินเอ 116

ตารางที่ 112 แสดงปัจจัยเนื่องจากปริมาณของแข็งที่ละลายได้ทั้งหมดต่อปริมาณ
 วิตามินซีที่เหลือจากการฉายรังสีอัลตราไวโอเลต..... 117

ตารางที่ 113 แสดงผลการเสียดินของบรรจุภัณฑ์ต่อการปกป้องวิตามินเอจากการเสื่อมสลาย
 จากรังสีอัลตราไวโอเลต..... 118

ตารางที่ 114 การวิเคราะห์ความแปรปรวนของปริมาณวิตามินเอที่เหลือ ต่อระยะเวลาในการฉาย
 แสงอัลตราไวโอเลต ที่ ชนิดของบรรจุภัณฑ์ต่าง ๆ กัน..... 119

ตารางที่ 115 แสดงข้อมูลทางสถิติของอิทธิพลของชนิดของบรรจุภัณฑ์ต่อปริมาณ
 วิตามินเอที่เหลือ 119

ตารางที่ 116 แสดงข้อมูลทางสถิติของอิทธิพลของเวลาในการฉายแสงอัลตราไวโอเลต
 ต่อปริมาณ วิตามินเอที่เหลือ..... 120

ตารางที่ 117	แสดงผลการศึกษาชนิดของบรรจุภัณฑ์ต่อการปกป้องวิตามินซีจากภาวะเสื่อมสลาย จากรังสีอัลตราไวโอเล็ต.....	121
ตารางที่ 118	การวิเคราะห์ความแปรปรวนของปริมาณวิตามินซีที่เหลือ ต่อระยะเวลาในการฉาย แสงอัลตราไวโอเล็ต ที่ ชนิดของบรรจุภัณฑ์ต่าง ๆ กัน.....	122
ตารางที่ 119	แสดงข้อมูลทางสถิติของอิทธิพลของชนิดของบรรจุภัณฑ์ต่อปริมาณ วิตามินซีที่เหลือ	122
ตารางที่ 120	แสดงข้อมูลทางสถิติของอิทธิพลของเวลาในการฉายแสงอัลตราไวโอเล็ต ต่อปริมาณ วิตามินซีที่เหลือ.....	122
ตารางที่ 121	ขนาดอนุภาคของพุทราสด.....	126
ตารางที่ 122	ขนาดอนุภาคของใยอาหารที่สกัดจากพุทรา.....	128
ตารางที่ 123	แสดงผลการศึกษาผลของปริมาณของแข็งที่ละลายได้ทั้งหมดต่อการตกตะกอนของ อนุภาคใยอาหารที่สกัดจากพุทรา	130
ตารางที่ 124	การวิเคราะห์ความแปรปรวนของปริมาณของแข็งที่ละลายได้ทั้งหมดต่อปริมาณของ ใยอาหารที่สกัดส่วนต่าง ๆ.....	131
ตารางที่ 125	แสดงข้อมูลทางสถิติของปริมาณของแข็งที่ละลายได้ทั้งหมดต่อเปอร์เซ็นต์ การตกตะกอน.....	131
ตารางที่ 126	แสดงข้อมูลทางสถิติของปริมาณของใยอาหารต่อการตกตะกอน.....	132
ตารางที่ 127	แสดงผลของระยะเวลาในการบดต่อการตกตะกอนของอนุภาคใยอาหาร ที่สกัดจากพุทรา.....	132
ตารางที่ 128	แสดงผลของสารช่วยแขวนลอยประเภทต่าง ๆ.....	132
ตารางที่ 129	แสดงผลการศึกษาชนิดของสารช่วยแขวนลอยต่อการตกตะกอนของอนุภาค ใยอาหารที่สกัดจากพุทรา.....	135
ตารางที่ 130	แสดงผลการศึกษาสารช่วยแขวนลอยที่ได้เลือกแล้ว % การตกตะกอน.....	135
ตารางที่ 131	แสดงจำนวนยีสต์และรา ของน้ำพุทราเข้มข้น เก็บในตู้เย็น 6 สัปดาห์.....	136
ตารางที่ 132	แสดงจำนวนยีสต์และรา ของน้ำพุทราเข้มข้น เก็บ ณ อุณหภูมิห้อง เป็นเวลา 6 สัปดาห์.....	136
ตารางที่ 133	แสดงผลการศึกษาองค์ประกอบของกลิ่นในน้ำพุทราก่อนการแปรรูป โดย GC - MS.....	137
ตารางที่ 134	แสดงผลการศึกษาองค์ประกอบของกลิ่นในน้ำพุทราหลังการแปรรูป โดย GC - MS.....	138

ตารางที่ 135	สารเคมีที่ใช้ในการวิจัย.....	144
ตารางที่ 136	วัสดุอุปกรณ์ที่ใช้ในงานวิจัย.....	145
ตารางที่ 137	ปริมาณตัวอย่างแนะนำไปการวัดสมรรถนะด้านความเหนียวด้วยเครื่อง RVA.....	154
ตารางที่ 138	แสดงความสัมพันธ์ของค่าความเข้มข้นของสารต่างๆ ในตัวทำละลาย และตัวถูกละลาย	156

สารบัญรูป

รูปที่	หน้า
รูปที่ 1 กระบวนการทำเซลล์ลูโลสผง.....	12
รูปที่ 2 สูตรโครงสร้างของวิตามินเอ.....	14
รูปที่ 3 สูตรโครงสร้างของวิตามินอี.....	17
รูปที่ 4 สูตรโครงสร้างของวิตามินซี.....	18
รูปที่ 5 ปฏิกริยาระหว่างแป้งกับแอสติลิกแอนไฮไดรด์ ได้เป็นแป้งแอสเทด.....	28
รูปที่ 6 แสดงการเปลี่ยนแปลงของค่า ความหนืด, ปริมาณน้ำกั้น, ความใส (% T), ความใส (OD), เวลาครีนิวซ์ และปริมาณของแข็งที่ละลายได้ทั้งหมดที่ pH ต่าง ๆ.....	45
รูปที่ 7 แสดงการเปลี่ยนแปลงของค่า ความหนืด, ปริมาณน้ำกั้น, ความใส (% T), ความใส (OD), เวลาครีนิวซ์ และปริมาณของแข็งที่ละลายได้ทั้งหมดที่ อุณหภูมิต่าง ๆ.....	48
รูปที่ 8 แสดงปริมาณของแข็งที่ละลายได้ทั้งหมดที่สกัดได้จากเนื้อพุทราบดที่ภาวะต่าง ๆ.....	51
รูปที่ 9 แสดงความหนืด (cps) ของน้ำเชื่อมพุทราที่สกัดได้จากเนื้อพุทราบดที่ภาวะต่าง ๆ.....	54
รูปที่ 10 แสดงความใส (% T) ของน้ำเชื่อมพุทราที่สกัดได้จากเนื้อพุทราบดที่ภาวะต่าง ๆ.....	57
รูปที่ 11 แสดงปริมาณน้ำกั้นที่สกัดได้จากเนื้อพุทราบดที่ภาวะต่าง ๆ.....	60
รูปที่ 12 แสดงปริมาณน้ำครีนิวซ์ของน้ำเชื่อมพุทราที่สกัดได้จากเนื้อพุทราบด ที่ภาวะต่าง ๆ.....	63
รูปที่ 13 แสดงปริมาณของแข็งที่ละลายได้ทั้งหมดที่สกัดได้จากกากพุทราบดที่ภาวะต่าง ๆ.....	66
รูปที่ 14 แสดงความหนืด (cps) ของน้ำเชื่อมพุทราที่สกัดได้จากกากพุทราบดที่ภาวะต่าง ๆ.....	69
รูปที่ 15 แสดงความใส (% T) ของน้ำเชื่อมพุทราที่สกัดได้จากกากพุทราบดที่ภาวะต่าง ๆ.....	72
รูปที่ 16 แสดงปริมาณน้ำกั้นที่สกัดได้จากกากพุทราบดที่ภาวะต่าง ๆ.....	75
รูปที่ 17 แสดงปริมาณน้ำครีนิวซ์ของน้ำเชื่อมพุทราที่สกัดได้จากกากพุทราบด ที่ภาวะต่าง ๆ.....	78
รูปที่ 18 แสดงปริมาณของแข็งที่ละลายได้ทั้งหมดที่สกัดได้จากพุทราบดทั้งผลที่ภาวะต่าง ๆ.....	81
รูปที่ 19 แสดงความหนืด (cps) ของน้ำเชื่อมพุทราที่สกัดได้จากพุทราบดทั้งผลที่ภาวะต่าง ๆ.....	84
รูปที่ 20 แสดงความใส (% T) ของน้ำเชื่อมพุทราที่สกัดได้จากพุทราบดทั้งผลที่ภาวะต่าง ๆ.....	87
รูปที่ 21 แสดงปริมาณน้ำกั้นที่สกัดได้จากพุทราบดทั้งผลที่ภาวะต่าง ๆ.....	90

รูปที่ 22	แสดงปริมาณน้ำตาลรีดิวซ์ของน้ำเชื่อมพุทราที่สกัดได้จากพุทราอบแห้งผล ที่ภาวะต่าง ๆ.....	93
รูปที่ 23	แสดงปริมาณของแข็งที่ละลายได้ทั้งหมดของน้ำเชื่อมพุทราที่สกัดได้จากกากพุทราอบ ที่กระบวนการแปรรูปต่าง ๆ.....	96
รูปที่ 24	กระบวนการสกัดน้ำพุทราแบบต่อเนื่อง.....	101
รูปที่ 25	แสดงปัจจัยเนื่องจากปริมาณของแข็งที่ละลายได้ในน้ำ ต่อปริมาณวิตามินซี	108
รูปที่ 26	แสดงปัจจัยเนื่องจากปริมาณของแข็งคัดแปร ต่อปริมาณวิตามินซี.....	110
รูปที่ 27	แสดงผลของความเข้มข้นของวิตามินซี ต่อการสลายตัวของวิตามินซี โดยการฆ่าเชื้อแบบ Sterilization	112
รูปที่ 28	แสดงปัจจัยเนื่องจากปริมาณของแข็งที่ละลายได้ในน้ำ ต่อปริมาณวิตามินเอ.....	114
รูปที่ 29	แสดงปัจจัยเนื่องจากปริมาณของแข็งคัดแปร ต่อปริมาณวิตามินเอ.....	116
รูปที่ 30	แสดงปัจจัยเนื่องจากปริมาณของแข็งที่ละลายได้ทั้งหมดต่อปริมาณ วิตามินซีที่เหลือจากการฉายรังสีอัลตราไวโอเลต	117
รูปที่ 31	แสดงบรรจุภัณฑ์ที่เลือกมาศึกษาการปกป้องคุณค่าทางอาหารจากการเสื่อมสลาย จากรังสีอัลตราไวโอเลต.....	118
รูปที่ 32	แสดงชนิดของบรรจุภัณฑ์ต่อการปกป้องวิตามินเอจากการเสื่อมสลาย จากรังสีอัลตราไวโอเลต.....	120
รูปที่ 33	แสดงชนิดของบรรจุภัณฑ์ต่อการปกป้องวิตามินซีจากการเสื่อมสลาย จากรังสีอัลตราไวโอเลต.....	123
รูปที่ 34	ผลการศึกษาแป้งคัดแปรจากเครื่อง Rapid Visco Analyser (RVA).....	123
รูปที่ 35	แสดงลักษณะ รูปร่างของแป้งคัดแปรที่เชื่อมสีและไมเชื่อมสีที่กำลังขยายต่าง ๆ...	124
รูปที่ 36	แสดงลักษณะและรูปร่างของใยอาหารที่สกัดจากพุทราที่กำลังขยายต่าง ๆ.....	125
รูปที่ 37	แสดงขนาดอนุภาคของพุทราอบ.....	126
รูปที่ 38	แสดงขนาดอนุภาคของใยอาหารที่สกัดจากพุทรา.....	128
รูปที่ 39	แสดงน้ำพุทราก่อนการแปรรูป และน้ำพุทราหลังการแปรรูป.....	137
รูปที่ 40	แสดงกราฟมาตรฐานของปริมาณแคลเซียม.....	139
รูปที่ 41	แสดงกราฟมาตรฐานของปริมาณเหล็ก.....	140